

1 まえがき 地表面上の構造物の振動特性については、これまで数多くの理論的実験的な研究が報告されてきた。このような工学上の問題は、地震学上での加振場以外の実地への波動の伝播機構の興味とは異り、加振場とその近く近傍の実の応答を解析する対象にしなければならないので、境界条件のとり方に大きな困難さを含んでいる。厳密には構造物と地表面との接触面においては変位 w 、他の実においては応力 σ を与えるならなり混合境界値問題となるが、通常はこの困難さをさけるため接触面での応力分布を適当に与えて、地表面での境界条件をすべて応力で統一してきた。構造物の断面形状は解剖の都合上円形が多かったが、最近では矩形の場合にも拡張されてきている。¹⁾これらの研究の多くは解析の最終結果に無限積分を含んでいるが、田治見は地表面上に静的な実荷重を加えたときの任意実 θ の変位の厳密解を動的の場合に拡張し、かかる問題の取扱いを容易ならしめた。²⁾

そこで回転振動に限ってみると、これらの研究の対象がほとんどすべて構造物断面の主軸に沿って振動であるが、断面が円形以外のものに任意方向から外力が作用する場合に応用できまい。このような場合、断面形状の差が応答の方向に決定的因素になるであろう。本研究は普通断面の構造物が地表面上に載っていて、これが任意方向よりモーメントを与えられたときの応答の方向と、その動特性を振動アドミッタンス（ばね剛性の逆数）で検討したものである。なお回転角については、平均値による方法などもあるが、ここでは構造物底部の地盤の傾斜角とする田治見の定義によった。

2 任意方向の外力に対する構造物の回転振動の方向性と振動アドミッタンス

半無限地盤の表面上のO点より距離 r だけ離れてA点に鉛直実荷重 $P e^{i\omega t}$ が作用したとき、自由表面で応力0の条件を入れるとO点の鉛直変位 w は

$$w = \frac{1}{2\pi G} P e^{i\omega t} \frac{e^{-ik_r r}}{r} \quad \cdots \cdots (1)$$

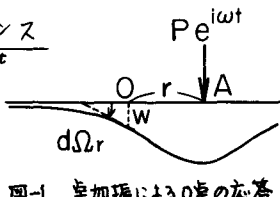


図-1 実加振によるO点の応答

で与えられる³⁾。ここに G は地盤のせん断弾性係数、 $k_r = \omega / \sqrt{G}$ は波数、 ω は横波の伝播速度である。式(1)は実荷重 $P e^{i\omega t}$ による波動の伝播を曲面波表示したもので、田治見が提案した式との α_1 と式(1)の P_1 の1.33倍すれば一致することができる。かくしてO点への地盤の傾斜角 $d\Omega_r$ は式(1)を用いて次式で与えられる。

$$d\Omega_r = \frac{\partial w}{\partial r} = \frac{-P e^{i\omega t}}{2\pi G} \frac{(1+i k_r r)}{r^2} e^{-i k_r r} \quad \cdots \cdots (2)$$

この回転角があまり大きくなりときは直線OAから角θだけ水平にならった方向への回転角 $d\Omega$ は

$$d\Omega = \cos \theta \cdot d\Omega_r = -\frac{P e^{i\omega t}}{2\pi G} \frac{\cos \theta (1+i k_r r)}{r^2} e^{-i k_r r} \quad \cdots \cdots (3)$$

そこで図-2のような普通断面をして剛な構造物が地表面に載っていて、これが任意方向（X軸よりθだけ回転した方向）にモーメントMを受けた場合を考える。このとき構造物は地盤の鉛直反力の不均衡によりθ=θ₀なる方向に回転しなり、ある適当な釣合位置でθ=θ₀なる方向に求めることになる。すなわち、図-2で見るように構造物はY軸まわりに回転するとすると、この応答方向θ=θ₀はY軸と直角方

向2ある中軸まわりの回転角が0となるようすθの値と定義される。

そこで回転モーメントMを中軸および中軸まわりの回転モーメント

に分けて考え、これらのモーメントをそれぞれ M_ψ および M_ϕ と記すと

$$M_\psi = M \cos(\theta_0^* - \theta) \quad \cdots \cdots (4)$$

$$M_\phi = M \sin(\theta_0^* - \theta) \quad \cdots \cdots (5)$$

となる。ところで回転に伴う構造物底面における地盤の鉛直応力分布 σ_z を変位に比例的な分布、すなわち三角形分布と仮定する。なお回転軸は断面中心Oを通り、構造物の自重の影響は無視するものとする。

したがって、中軸まわりの回転にあっては、鉛直応力分布 σ_z は

$$\sigma_z = \frac{M_\phi}{J_\phi} r \cos(\theta_0^* - \theta), \quad \theta_0^* - \pi \leq \theta \leq \theta_0^* \quad \cdots \cdots (6)$$

$$J_\phi = \pi ab \left(\frac{a^2}{4} \sin^2 \theta_0^* + \frac{b^2}{4} \cos^2 \theta_0^* \right) \quad \cdots \cdots (7)$$

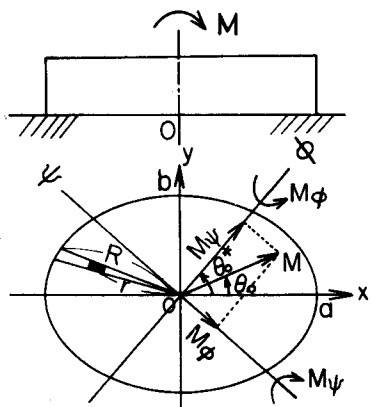


図-2 回転モーメントMを受ける構造物断面構造物

で与えられる。ここに J_ϕ は中軸に関する断面2次モーメントである。この σ_z は中軸に対して対称にならないので、この σ_z による奥にみる中軸まわり、横軸まわりの回転角をそれぞれ $d\Omega_{\phi\phi}$ 、 $d\Omega_{\phi\psi}$ とすると、式(3)を用いて次式をうる。

$$d\Omega_{\phi\phi} = \frac{e^{i\omega t}}{2\pi G} \frac{(1+i k_T r)}{r^2} \sin(\theta_0^* - \theta) e^{-ik_T r} \sigma_z r dr d\theta \quad \cdots \cdots (8)$$

$$d\Omega_{\phi\psi} = \frac{e^{i\omega t}}{2\pi G} \frac{(1+i k_T r)}{r^2} \cos(\theta_0^* - \theta) e^{-ik_T r} \sigma_z r dr d\theta \quad \cdots \cdots (9)$$

これらを全断面について積分しておき、それを $\Omega_{\phi\phi}$ 、 $\Omega_{\phi\psi}$ とすと次式のようになる。

$$\begin{aligned} \Omega_{\phi\phi} &= 2 \int_{\theta_0^* - \pi}^{\theta_0^*} \int_0^R \frac{M_\phi}{J_\phi} r \sin(\theta_0^* - \theta) \frac{e^{i\omega t}}{2\pi G} \frac{(1+i k_T r)}{r^2} \sin(\theta_0^* - \theta) e^{-ik_T r} r dr d\theta \\ &= \frac{a M_\phi}{\pi G J_\phi} e^{i\omega t} \int_{\theta_0^*}^{\theta_0^* + \pi} \sin^2(\zeta - \theta_0^*) P(k_T R_s) d\zeta \end{aligned} \quad \cdots \cdots (10)$$

同様にして、

$$\Omega_{\phi\psi} = -\frac{a M_\phi}{\pi G J_\phi} e^{i\omega t} \int_{\theta_0^*}^{\theta_0^* + \pi} \sin(\zeta - \theta_0^*) \cos(\zeta - \theta_0^*) P(k_T R_s) d\zeta \quad \cdots \cdots (11)$$

$$\therefore \text{P}(k_T R_s) = \frac{k_T R_s}{k_T a} \left[\frac{2 \sin k_T R_s}{k_T R_s} - \cos k_T R_s - i \left\{ \frac{2(1 - \cos k_T R_s)}{k_T R_s} - \sin k_T R_s \right\} \right] \quad \cdots \cdots (12)$$

$$k_T R_s = k_T a / \sqrt{1 + k_T^2 \sin^2 \zeta}, \quad k_T b = \sqrt{a^2 - b^2} / b, \quad (a \geq b > 0) \quad \cdots \cdots (13)$$

一方、中軸まわりの回転については、その断面2次モーメント J_ψ を用いて σ_z は次式で与えられる。

$$\sigma_z = \frac{M_\psi}{J_\psi} r \cos(\theta_0^* - \theta), \quad \theta_0^* - \frac{\pi}{2} \leq \theta \leq \theta_0^* + \frac{\pi}{2} \quad \cdots \cdots (14)$$

$$J_\psi = \pi ab \left(\frac{a^2}{4} \cos^2 \theta_0^* + \frac{b^2}{4} \sin^2 \theta_0^* \right) \quad \cdots \cdots (15)$$

この σ_z による中軸まわりと中軸まわりの全回転角をそれぞれ $\Omega_{\psi\psi}$ および $\Omega_{\psi\phi}$ とすと、同様にして

$$\Omega_{\psi\psi} = \frac{a M_\psi}{\pi G J_\psi} e^{i\omega t} \int_{\theta_0^*}^{\theta_0^* + \pi} \sin^2(\zeta - \theta_0^*) P(k_T R_c) d\zeta \quad \cdots \cdots (16)$$

$$\Omega_{\psi\phi} = \frac{aM\psi}{\pi G J_\phi} e^{i\omega t} \int_{\theta_0^*}^{\theta_0^* + \pi} \sin(\zeta - \theta_0^*) \cos(\zeta - \theta_0^*) P(R_T R_C) d\zeta \quad \dots \quad (17)$$

$$\text{ここで, } R_T R_C = R_T a / \sqrt{1 + k_b^2 \cos^2 \theta} \quad \dots \quad (18)$$

よって、 $\theta = \theta_0^*$ 方向（回転軸 ψ ）が求める応答の方向であるとすると、結局中軸まわり、中軸まわりの全回転角 Ω_ψ 、 Ω_ϕ は次式のように得られる。

$$\Omega_\psi = \Omega_{\psi\psi} - \Omega_{\phi\psi} = \frac{aM\psi}{\pi G} e^{i\omega t} \int_{\theta_0^*}^{\theta_0^* + \pi} \left[\frac{\sin(\theta_0^* - \theta)}{J_\phi} \left(\frac{\cos(\theta_0^* - \theta)}{J_\phi} \sin(\zeta - \theta_0^*) P(R_T R_C) + \frac{\sin(\theta_0^* - \theta)}{J_\phi} \cos(\zeta - \theta_0^*) P(R_T R_S) \right) \right] d\zeta \quad \dots \quad (19)$$

$$\Omega_\phi = \Omega_{\phi\phi} - \Omega_{\psi\phi} = \frac{aM\psi}{\pi G} e^{i\omega t} \int_{\theta_0^*}^{\theta_0^* + \pi} \left[\frac{\sin(\theta_0^* - \theta)}{J_\phi} \left(\frac{\sin(\theta_0^* - \theta)}{J_\phi} \sin(\zeta - \theta_0^*) P(R_T R_S) - \frac{\cos(\theta_0^* - \theta)}{J_\phi} \cos(\zeta - \theta_0^*) P(R_T R_C) \right) \right] d\zeta \quad \dots \quad (20)$$

ところで、通常の地盤と構造物との関係においては $a / V_f \ll 1$ (sec) であるから、外乱の振動数 ω と地震動の卓越振動数 ω_0 に比べる場合は $R_T a = a\omega / V_f \leq 1$ 程度のものと考えればよろしい。このような場合の回転角 Ω_ϕ における減衰率（虚数部）の占める割合は小さく、その実部 $\operatorname{Re}[\Omega_\phi]$ で支配される。かくして式(20)より次式を満たすものが求める応答の方向を与えることになる。

$$\int_{\theta_0^*}^{\theta_0^* + \pi} \left[\frac{R_S}{a} \frac{\sin(\theta_0^* - \theta)}{J_\phi} \sin(\zeta - \theta_0^*) \left\{ \frac{2 \sin R_T R_S}{R_T R_S} - \cos R_T R_S \right\} - \frac{R_C}{a} \frac{\cos(\theta_0^* - \theta)}{J_\phi} \cos(\zeta - \theta_0^*) \left\{ \frac{2 \sin R_T R_C}{R_T R_C} - \cos R_T R_C \right\} \right] d\zeta = 0 \quad \dots \quad (21)$$

このとき $\theta = \theta_0^*$ 方向（中軸まわり）の応答特性は振動アドミッタンスおよび静的剛性によって評価するため、それを J_{LR} および K_R （静的の場合 $\omega = 0$ のときそれを λ_R, k_R ）とすると式(19)より

$$J_{LR} = \frac{1}{K_R} = \frac{\Omega_\phi}{M\psi e^{i\omega t}} = \frac{a}{2GJ_0} \frac{2}{\pi} \int_{\theta_0^*}^{\theta_0^* + \pi} \left[\frac{\cos(\theta_0^* - \theta)}{J_\phi} \sin(\zeta - \theta_0^*) P(R_T R_C) + \frac{\sin(\theta_0^* - \theta)}{J_\phi} \cos(\zeta - \theta_0^*) P(R_T R_S) \right] d\zeta \quad \dots \quad (22)$$

さらに静的な場合には $\omega \rightarrow 0$ とすると式(22)より次式をうる。

$$\lambda_R = \frac{1}{K_R} = \frac{a}{2GJ_0} \frac{2}{\pi} \int_{\theta_0^*}^{\theta_0^* + \pi} \left[\frac{\cos(\theta_0^* - \theta)}{J_\phi} \sin(\zeta - \theta_0^*) + \frac{\sin(\theta_0^* - \theta)}{J_\phi} \cos(\zeta - \theta_0^*) \right] d\zeta \quad \dots \quad (23)$$

$$\text{ここで, } J_0 = \pi a^4 / 4, J_\phi^* = (b/a)^3 (1 + k_b^2 \cos^2 \theta_0^*), J_\phi^* = (b/a)^3 (1 + k_b^2 \sin^2 \theta_0^*) \quad \dots \quad (24)$$

ここで比較の標準として円形断面の場合の、静的回転ばね剛性 $\lambda_0 (= 2\pi G/a)$ 、断面2次モーメント $J_0 (= \pi a^4 / 4)$ を用いて、 $J_{LR}/\lambda_0 = \alpha_1 - i\alpha_2$ 、 $K_R/k_R = k_1 + ik_2$ として、実数部と虚数部を別個に取り扱う。

3 計算結果とその考察 図-3は入力の方向 θ_0 と応答の方向 θ_1 とが断面形状の差によることで逆に異なる値をもつことを示した図である。これより構造物の断面の長短径比 a/b が大きいほど、入力の方向と応答の方向との差が広まり、細長い構造物では入力の方向がほぼ 22.5° より大きくなると応答は急速に短軸方向に接近する事が分かる。図-4は振動アドミッタンス J_{LR} と円形構造物の静的アドミッタンス λ_0 の比を示したものであり、 α_1, α_2 はそれぞれ実部および虚部のことである。入力の方向が長軸に近いときは断面形によるアドミッタンスの差は小さいが、それが 22.5° を超ると、その差は極端に増大する。これは断面2次モーメントの増減と逆比例の関係にあり、当然のことながら、この入力方向 22.5° は図-3と対応する。一方虚部 α_2 は実部より急激な方位角の近傍でわずかに変動するが、量的には非常に小さい。表-1は応答方向 θ_1 の外乱の振動数に対する依存の程度を示したものである。無次元振動数 $R_T a < 2$ の時は、一般的に $R_T a$ の増大とともに、わずかながら応答方向 θ_1 が増大するが、入力方向が 22.5° の場合には、振動数の変動によらずも急激に応答方向が変化する場合もありうるようである。図-5、

図-6 および図-7 は振動アドミッタンス Δ_R が、入力振動数および断面形状によって受けける影響を図示したものである。これらの図より、減衰を示す虚部 α は振動数とともに増大するが、断面形状、入力の方向によっては大きくなり、一方実部 σ は断面が偏平なほど、入力方向が短軸方向に近づくほど大きくなるが、2 構造物の応答もこの傾向に従うものといえよう。

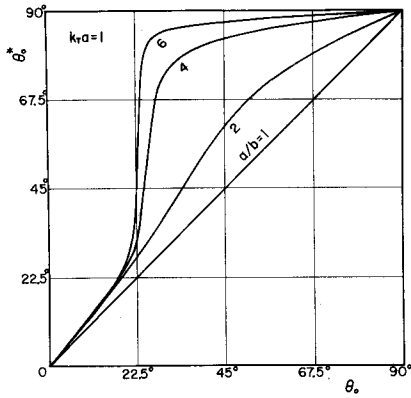


図-3 入力方向と応答方向との関係

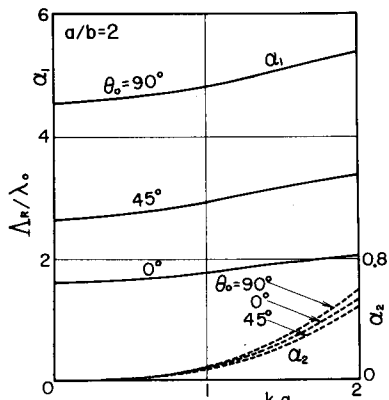


図-5 入力振動数に対する振動アドミッタンス

表-1 入力振動数の応答方向に及ぼす影響

θ_0	$k_T a$	0.2	0.6	1.0	1.4	1.8
	a/b					
22.5°	2	26.60°	26.89°	27.39°	27.87°	28.09°
	4	29.48°	29.98°	30.92°	32.18°	33.43°
	6	33.67°	34.92°	38.58°	82.45°	82.80°
45°	2	58.93°	59.71°	60.87°	61.87°	62.30°
	4	82.74°	82.91°	83.16°	83.41°	83.59°
	6	87.15°	87.20°	87.26°	87.34°	87.29°
67.5°	2	78.66°	78.93°	79.31°	79.62°	79.75°
	4	87.21°	87.27°	87.35°	87.43°	87.49°
	6	88.86°	88.87°	88.90°	88.92°	88.94°

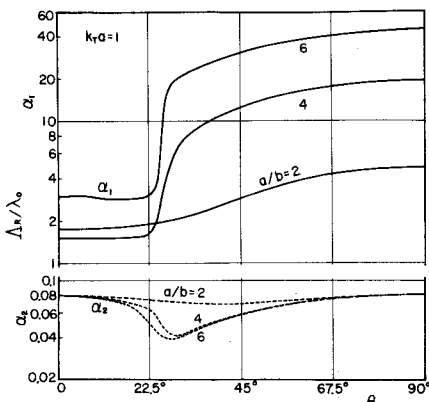


図-4 入力方向に対する振動アドミッタンス

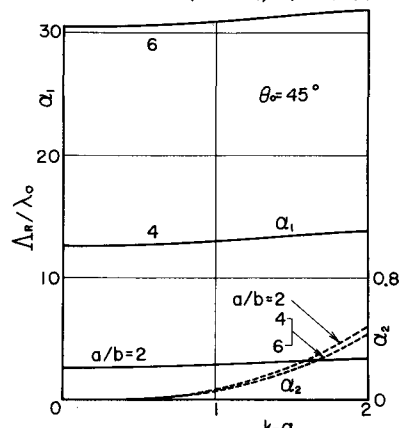


図-6 入力振動数に対する振動アドミッタンス

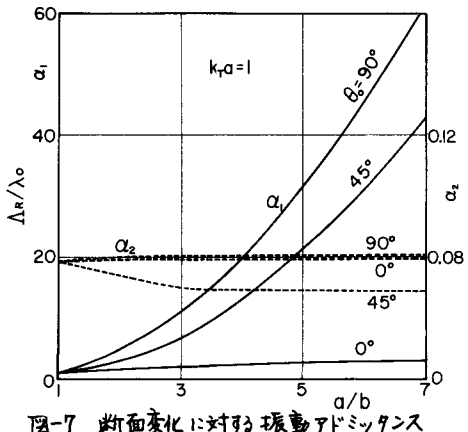


図-7 断面変化に対する振動アドミッタンス

1) 例えば、小堀・他：長方形基礎の Dynamical Ground Compliance, 京大物探研究報告 第10号A, 昭42.3, pp.283-341, 2) 田中見：構造物地盤間に關する基礎的研究, 土木技術報告, 第8卷, 第4号, 18.34.3, pp.176-217, 3) 野邑雄吉：技術者のための特異問題集とその応用, 日刊工業新聞社, pp.305-335.